

# مقایسه رفتار استاتیکی و دینامیکی پیکو بندی های مختلف ربات های الستیک

دکتر محسن بهرامی

استادیار دانشکده مهندسی مکانیک دانشگاه صنعتی امیرکبیر

مهندس منصور توفیقی

دانشکده مهندسی مکانیک دانشگاه صنعتی امیرکبیر

چکیده:

یکی از عوامل کاهش دقت نقطه انتهایی ربات ها تغییر شکل الستیک سازه ربات تحت نیروهای استاتیکی یا دینامیکی است. در این مقاله رفتار الستیک پیکربندی های مختلف رباتها بررسی می شود و نشان داده می شود که خطای حاصل از اعمال نیروی متغیره استاتیکی به نقطه انتهایی پیکربندی های مختلف ربات ها و همچنین فرگانس طبیعی و پاسخ دینامیکی پیکربندی های مختلف متفاوت است. مطالعه خطای و پاسخ دینامیکی بر روی یک ربات R2 صفحه ای صورت گرفته است و برای مطالعه فرگانس طبیعی از یک رباب بخصوص R3 استفاده شده است.

## Study of Static and Dynamic Behavior of Different Configuration of Elastic Robot Arm

M. Bahrami, Ph.D

Mech. Eng. Dept. AmirKabir Univ. of Tech.

M. Toflighi, MSc.

Mech. Eng. Dept. AmirKabir Univ. of Tech.

### ABSTRACT

One of the main causes of robot end effector position inaccuracies under static and dynamic loadings is the elasticity of the arm. In this work the elastic behavior of different possible configurations of a planar 2R and a spatial 3R robot arm is studied. It is shown that the position error under static loads applied to the end effector, and natural frequencies and dynamic responses are different for different configurations.

### لفات کلیدی:

فضای کاری	Workspace
پیکربندی	Configuration
نقطه انتهایی	End Point
سب	SAPIV

رنجات ها است. عوامل زیادی باعث می شوند که موقعیت نقطه انتهایی ربات ها شده باشد. یکی از عوامل ایجاد خطای شکل الستیکی ربات است. مطالعات زیادی در مورد فرموله کردن و کنترل مکانیزم های الستیک صورت گرفته است. از جمله اولین مطالعات در این زمینه فرموله کردن یک مکانیزم چهار بازوی الستیک توسط Winfrey است (۱). توسط Sadler و Sandor با روش المانهای محدود و جرم مرکز مکانیزم های الستیک فرموله شده است (۲). هم چنین فرموله کردن بازو های الستیک بدروش المانهای محدود انجام شده است (۳). شاهین پور و مقداری، رفتار الستیک یک ربات R2

۱- مقدمه دقت نقطه انتهایی ربات ها یکی از موارد مهم در طراحی و کنترل

- محرك (Actuator) های مقاصل به طور کامل فعال باشد که در این صورت سختی پیچشی آنها را می توان بی نهایت در نظر گرفت (۴) . تغییر مکان نقطه انتهایی برای دو پیکربندی از روش کاستگلیانو محاسبه شد. بردار تغییر مکان نقطه انتهایی دو پیکربندی در شکل ۱ - ب نشان داده شده است و مقادیر عددی آنها در جدول ۲ مقایسه شده است.

تغییر مکان	Elbow-down	Elbow - up
مولفه خط (cm)	۰/۵۸۵۶	۰/۲۸۵۵
مولفه خط (cm)	۰/۲۳۷۹	-۰/۹۹۸۷×۱۰-۲
جهت پرداختا (درجه)	۲۲/۰۹۷۰	-۲۰
قدرمطلق خط (cm)	۰/۶۳۱۴	۰/۲۸۵۶

جدول ۲: تغییر مکان نقطه انتهایی دو پیکربندی شکل ۱

چنانچه از شکل ۱ - ب و جدول ۲ واضح است، بردار خطای نقطه انتهایی هم از نظر مقدار و هم از نظر جهت برای دو پیکربندی متفاوت است. ذیلاً "مطالعه کلی تری صورت می گیرد.

۳- خطای الاستیکی نقطه انتهایی تحت بارهای استاتیکی برای تعیین ایده فوق دو پیکربندی ربات 2R با مشخصات جدول ۱ در وضعیت هندسی شکل ۲ در نظر گرفته شدند. نیروی ۱۰۰۰ نیوتن به دست ربات اعمال شد و حول نقطه انتهایی ۵ درجه به ۵ درجه دوران داده شد ( شکل ۲ ) . برای هر زاویه اعمال نیرو، تغییر مکان نقطه انتهایی برای دو پیکربندی محاسبه و مقایسه شد. تغییر مکانها با استفاده از برنامه المانهای محدود سب توسعه یک برنامه پیش عامل به دست آمدند (۱۰) . شکل ۵ تغییر مکان کلی و مولفه های آن را برای دو پیکربندی شکل ۲ بر حسب زاویه اعمال نیرو نشان می دهد. همانطور که از شکل ۵ واضح است برای تعامی جهات اعمال نیرو بمنطقه انتهایی، مقدار خطای حاصله برای دو پیکربندی متفاوت است و شدت این اختلاف بستگی به جهت اعمال نیرو دارد. برای مطالعه بیشتر بار دیگر همین مطالعه با در نظر گرفتن الاستیستیتی مقاصل صورت گرفت. یعنی وقتی که سختی پیچشی مفصل اول  $E = ۰/۵ \times ۱۰^{-۸} N.cm/rad^2$  و سختی پیچشی مفصل دوم  $K_1 = ۰/۱ \times ۱۰^8 N/cm$  و  $K_2 = ۰/۰۰۷۸ N/cm$  باشد، نتایج در شکل ۶ مشاهده می شود. باما قیاسه شکل ۶ واضح است که وقتی الاستیستیتی پیچشی مقاصل در نظر گرفته شود، اختلاف رفتار الاستیکی پیکربندی های مختلف از اهمیت بیشتری برخوردار خواهد بود. مثلاً "چنانچه نیروی ۱۰۰۰ نیوتنی در امتداد ۳۵ درجه بمنطقه انتهایی دو پیکربندی ربات با مقاصل صلب و ربات با مقاصل الاستیک اعمال شود ( شکل ۲ ) اختلاف خطای الاستیکی دو پیکربندی ربات با مقاصل صلب ۱/۳۱٪ و در مورد ربات با مقاصل الاستیک ۷/۳۵٪ خواهد بود.

۴- پاسخ دینامیکی نقطه انتهایی تحت بارهای دینامیکی برای مطالعه پاسخ دینامیکی پیکربندی های مختلف ربات ها تحت بار دینامیکی، ربات 2R با مشخصات مندرج در جدول ۱، در موقعیت هندسی شکل ۳ قرار گرفته و نیروی دینامیکی پلماهی ۱۰۰۰ نیوتن،

تحت بارگذاری استاتیکی را بهروش ماتریسی فرموله کردند (۴) و هم - چنین مشخصه تغییر شکل الاستیکی ربات Puma 560 را بررسی کردند (۵) . از جمله مطالعات در مورد کنترل مکانیزم های الاستیک، کنترل یک مکانیزم دوبازوئی دو مفصلی با سختی گسترده است که توسط Book و Witney Maizza neto جریان خطای الاستیکی، نظریات مقداری از جمله کنترل فعال (۷) ارائه شده است. علی‌رغم مطالعات زیادی که تاکنون انجام شده است هنوز برای دستیابی به دقت بالاتر کوشش می شود، ولی توجهی به این مطلب نشده است که برای هر نقطه داخل فضای کاری ربات ها، معمولاً "بیش از یک پیکربندی وجود دارد (۸) . قبلاً "شنان داده شده است که پیکربندی های مختلف یک مکانیزم صلب برای حرکت نقطه انتهایی در مسیر مشخصی دارای مشخصه های سینماتیکی و دینامیکی متفاوت می باشد (۹) .

در این مقاله خطای نقطه انتهایی دو پیکربندی ربات 2R در اثر اعمال نیروی واحدی بمنطقه انتهایی محاسبه و مقایسه شده است. این مطالعه بر روی ربات ها با مقاصل صلب و با مقاصل الاستیک صورت گرفته است. سپس پاسخ دینامیکی دو پیکربندی متفاوت ربات 2R تحت اعمال یک نیروی پلماهی مقایسه شده است. برای مطالعه فرکанс طبیعی از ربات 2R خاصی استفاده شده است.

## ۴- ایجاد نظریه

برای نشان دادن ایده متفاوت مشخصه الاستیکی پیکربندی های مختلف ربات ها از یک ربات 2R استفاده شده است. مشخصات این ربات در جدول ۱ دیده می شود.

پارامتر	بازوی اول	بازوی دوم
$L_i$ (cm)	۷۰	۴۰
$A_i$ (cm <sup>2</sup> )	۱۴/۲۴	۱۴/۲۴
$E$ (N/cm <sup>2</sup> )	۴/۱۲	۰/۲۱ × ۱۰ <sup>۸</sup>
$\rho$ (Kg/cm <sup>3</sup> )	۰/۳	۰/۰۰۷۸

جدول ۱: مشخصات ربات 2R

که  $A_i$  و  $L_i$  و  $E$  و  $\rho$  به ترتیب عبارتند از طول، ممان اینرسی، سطح مقطع، ضریب پواسن، مدول یانگ و جرم مخصوص بازوی اول. این ربات توسط دو پیکربندی می تواند بمناطق داخل فضای کاری اش دسترسی داشته باشد که این دو پیکربندی در شکل ۱ با C'AB و شکل ۲ با ABC نشان داده شده اند، به ترتیب آنها را Elbow - up و Elbow - Down می نامیم. ربات در صفحه ۷ X طوری در نظر گرفته شده است که نقطه انتهایی روی محور Z ها باشد و دو بازو عمود بر یکدیگر باشند، سپس پیکربندی دیگر متفاوت به همان نقطه محاسبه شده است. نیروی ۱۰۰۰ نیوتن تحت زاویه ۵۰ درجه ( در مختصات کلی Global ) بمنطقه انتهایی هر دو پیکربندی اعمال شد ( شکل ۱ ) . فرض می شود که

است. چنی مقدار خطا و جهت آن و زمان لازم تا استهلاک ارتعاش و درصد استهلاک ارتعاش پس از زمان معینی از اعمال نیرو برای دو پیکربندی متفاوت است.

### ۵- فرکانس طبیعی

برای مطالعه فرکانس طبیعی ربات

$$(a_1 = 0, a_2 = 90, S_1 = S_2 = S_3 = 0.03R)$$

با مشخصات جدول ۴ در نظر گرفته شد. علت عدم انتخاب ربات  $2R$  برای این مطالعه آن است که دو پیکربندی مختلف ربات  $2R$  قرینه هستند و در نتیجه برای مطالعه فرکانس طبیعی مناسب نیست.

پارامتر	بازوی اول	بازوی دوم	بازوی سوم
$L_i$ (cm)	۷۰	۷۰	۷۰
$I_i$ (cm <sup>4</sup> )	۱۴/۲۴	۱۴/۲۴	۱۴/۲۴
$A_i$ (cm <sup>2</sup> )	۴/۱۲	۴/۱۲	۴/۱۲
$E$ (N/cm <sup>2</sup> )	۰/۳	۰/۳	۰/۳
$\rho$ (Kg/cm <sup>3</sup> )	۰/۲۱ $\times 10^8$	۰/۲۱ $\times 10^8$	۰/۲۱ $\times 10^8$
	۰/۰۰۷۸	۰/۰۰۷۸	۰/۰۰۷۸

جدول ۴: مشخصات ربات  $3R$

ربات  $3R$  مورد نظر با چهار پیکربندی مختلف می‌تواند به نقطه  $(X=0, Y=0, Z=15)$  برسد (شکل ۴). فرکانس طبیعی و تغییر مکان ماکریم در اثر فرکانس طبیعی برای چهار پیکربندی فوق محاسبه و مقایسه شد. نتایج فوق به ترتیب در جداول ۵ و ۶ مشاهده می‌شود. همانطور که از جدول ۵ واضح است فرکانس طبیعی پیکربندی‌های مختلف متفاوتند.

بت زاویه  $30$  درجه (در محورهای کلی) بدست ربات اعمال شد نکل ۳. مولفه  $X$  و  $Z$  پاسخ دینامیکی دو پیکربندی مختلف در شکلهای  $8$  دیده می‌شود، در هر دو شکل مذکور مقایس پاسخ دینامیکی دو کربندی متفاوت است و این به آن علت است که امکان مقایسه دو منحنی اهم شود. در جدول ۳ مقادیر عددی پاسخ دینامیکی دو پیکربندی نایس شده‌اند. همان‌طوری که جدول ۳ و منحنی‌های  $7$  و  $8$  نشان دهدند، پاسخ دینامیکی نقطه انتهایی دو پیکربندی تحت اعمال بروی دینامیکی مشترک به نقطه انتهایی دو پیکربندی اساساً متفاوت

رامتر	Elbow – up	Elbow – down
نیار خط ماگریم میلیمتر)	۸/۱۸۶	۱۴/۴۰۵
اویه بردار خط ماکریم درجه)	-۱۱/۲۶۶۷	۱۷/۶۶۸
ولفه $X$ خط ماکریم میلیمتر)	۸/۰۲۹۵	۱۰/۹۰۱
ولفه $Z$ خط ماگریم (میلیمتر)	۱/۵۹۹	۲/۴۲۲
مان بروز خطای ماکریم پس از اعمال نیرو (ثانیه) /۱	۰/۱	۰/۹۱
مان لازم برای استهلاک ٪ ارتعاش (ثانیه) ۹۵	%۲۴۲	۰/۸۲
درصد استهلاک (٪/۲۸)		۰/۲۲
ثانیه پس از اعمال نیرو)		

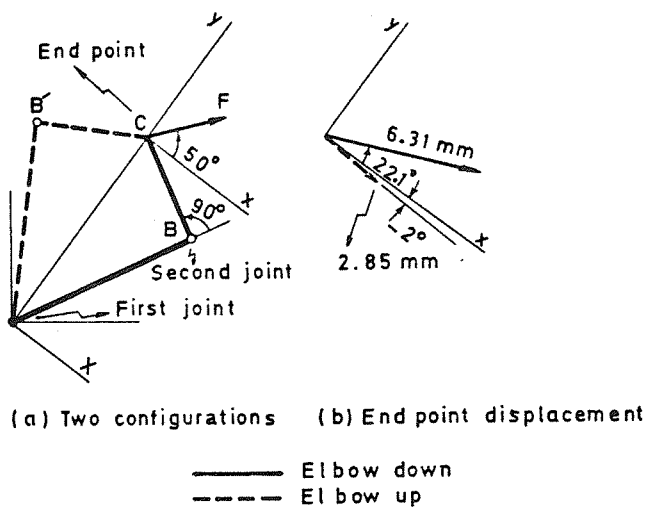
جدول ۳: مقایسه پاسخ دینامیکی دو پیکربندی ربات  $2R$  تحت ل بروی دینامیکی پله ای ثابت  $1000$  نیوتونی در امتداد  $30$  درجه

کمیت	پیکربندی اول	پیکربندی دوم	پیکربندی سوم	پیکربندی چهارم
فرکانس طبیعی مود اول	۴/۳۷۳	۴/۵۵	۴/۲۷۳	۴/۵۵
فرکانس طبیعی مود دوم	۴/۵۲۱	۴/۲۹۵	۴/۵۲۱	۴/۷۹۵

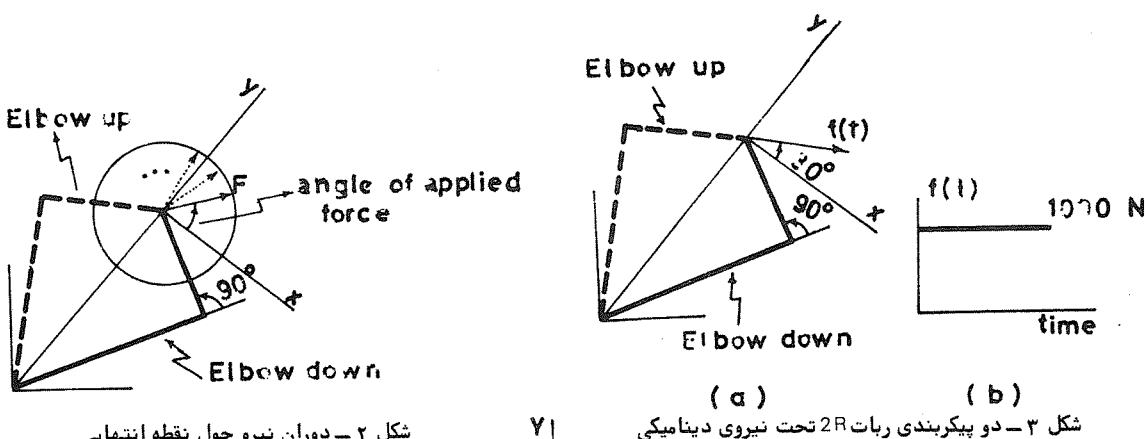
جدول ۵: مقایسه فرکانس طبیعی مود اول و مود دوم ۴ پیکربندی مختلف ربات  $3R$  در شکل ۴ (فرکانس بر حسب سیکل بر ثانیه)

Eigen vector (mode 1)	اول	دو	سه	چهارم	پیکربندی	پیکربندی	پیکربندی	پیکربندی
قدر مطلق خطای ماکریم (میلیمتر)	۷/۲۰۷	۱۰/۶۷۵	۷/۲۰۷	۱۰/۶۷۵	۰/۵۲۴۲	-۱/۴۳۲۹	۰/۵۲۴۲	۰/۵۲۴۲
مولفه $X$ بردار خطای ماکریم (میلیمتر)	-۱/۴۳۲۹	۰/۵۲۴۲	-۱/۴۳۲۹	-۱/۴۳۲۹	۲/۲۵۵۹	-۱/۲۳۹۲	-۲/۲۵۵۹	۱/۲۳۹۲
مولفه $Z$ بردار خطای ماکریم	۱/۲۳۹۲	۱/۲۳۹۲	-۲/۲۵۵۹	-۲/۲۵۵۹	-۹/۰۲۲۲	۶/۸۴۶	۹/۰۲۲۲	۶/۸۴۶
مولفه $Z$ برادر خطای ماکریم	۶/۸۴۶	۶/۸۴۶	۹/۰۲۲۲	۹/۰۲۲۲				

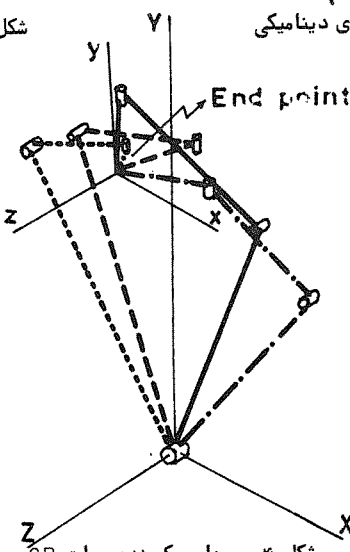
جدول ۶: مقایسه ماکریم خطای نقطه انتهایی (Eigen vector) در اثر فرکانس طبیعی (مود اول)



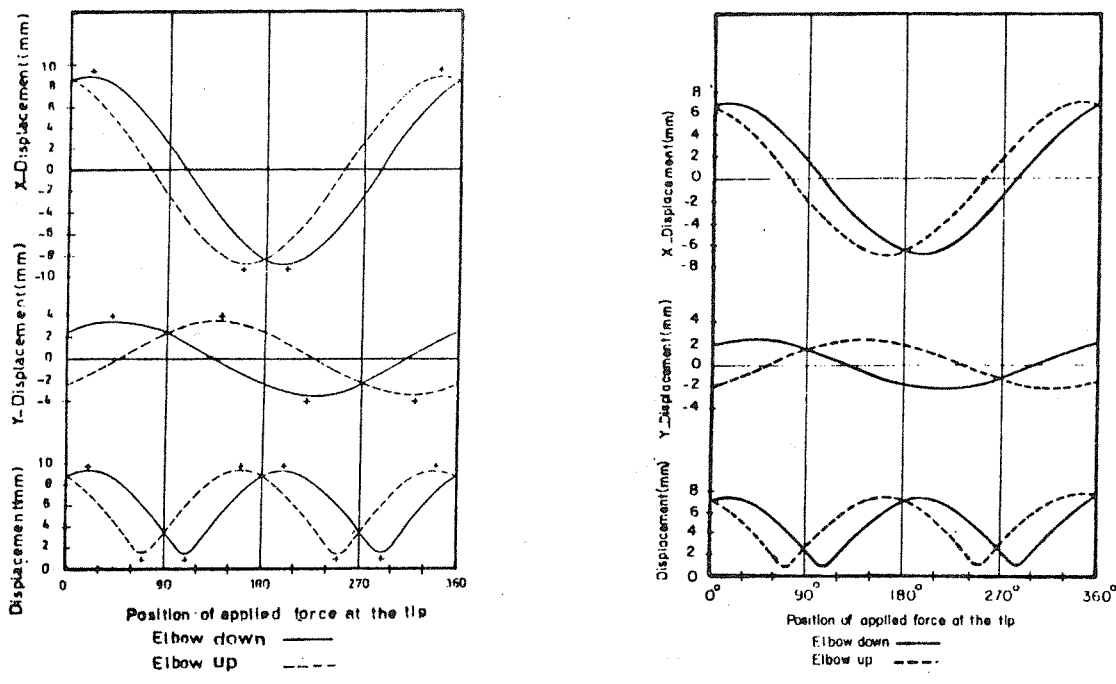
شکل ۱ – دو پیکربندی ربات 2R تحت نیروی ۱۰۰۰ نیوتون



شکل ۳ – دو پیکربندی ربات 2R تحت نیروی دینامیکی

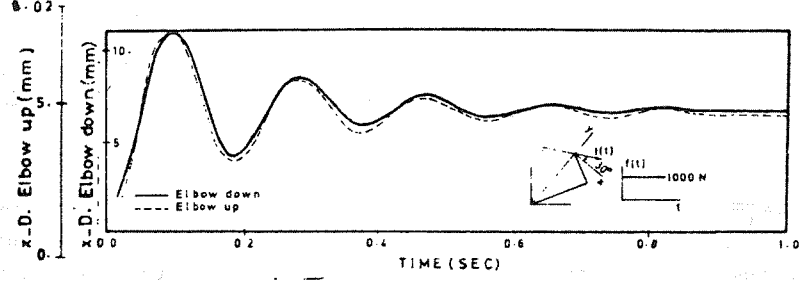


شکل ۴ – چهار پیکربندی ربات 3R

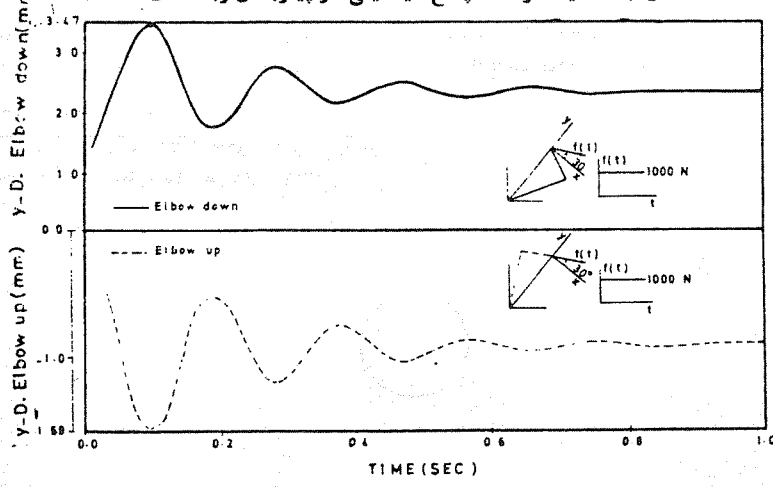


شکل ۵ – خطای نقطه انتهایی بر حسب زاویه اعمال نیرو (ربات با مقاصل الاستیک)

شکل ۵ – خطای نقطه انتهایی بر حسب زاویه اعمال نیرو (ربات با مقاصل صلب)



شکل ۶ – مقایسه مولفه X پاسخ دینامیکی دو پیکربندی ربات 2R



شکل ۷ – مقایسه مولفه ۷ پاسخ دینامیکی دو پیکربندی ربات 2R

منحنی پاسخ دینامیکی و نحوه استهلاک آنها نیز متفاوت است. بنابراین در صورت حساسیت طراحی نسبت به یک فرکانس خاصی می‌توان با تغییر پیکربندی فرکانس طبیعی آن را تغییر داد و یا در مواردی که پاسخ دینامیکی نقطه انتهاستی و نحوه استهلاک آن مورد نظر باشد به استخراج پیکربندی مناسب می‌توان پاسخ دینامیکی نقطه انتهاستی را تنظیم کرد.

نتایج فوق می‌تواند برای طراحی یک ربات برای طی مسیر خاص و یا کارکرد خاصی مورد استفاده قرار بگیرد، بدین ترتیب که قیود عملی مفاصل را طوری قرار داد که از پیکربندی با مشخصه الاستیکی مناسب استفاده شود تا از دقت بالاتری استفاده گردد و یا مشخصه دینامیکی مورد نظر تأمین شود.  
بعنوان یک نتیجه، قبل از هرگونه اقدامی برای کاهش و یا حذف خطای نقطه انتهاستی بروشانی، از قبیل کنترل فعل، باید انتخاب پیکربندی مناسب بررسی شود، انتخاب پیکربندی مناسب با توجه به جهت اعمال نیروی خارجی و دقت مورد نیاز باید صورت بگیرد. این مطالعه می‌تواند بعنوان بخشی از مطالعه برای طراحی و کنترل ربات‌ها در نظر گرفته شود.

در جدول ۶ مولفه‌های  $X$  و  $Z$  تغییر مکان نقطه انتهاستی در اثر مود اول فرکانس طبیعی برای ۴ پیکربندی شکل ۴ مقایسه شده‌اند. همانطور که از این جدول واضح است خطای حاصل از ماکریم تغییر مکان ناشی از فرکانس طبیعی برای پیکربندی‌های مختلف منتهی به یک نقطه متفاوت است.

#### ۶- بحث و نتیجه‌گیری

چنانچه نشان داده شد، مشخصه الاستیکی پیکربندی‌های مختلف ربات‌ها اساساً متفاوت است. از دیدگاه استاتیکی این تفاوت بدین نحو بیان می‌شود که خطای ناشی از اعمال نیروی مشابهی به نقطه انتهاستی پیکربندی‌های مختلف ربات‌ها هم از نظر مقدار و هم از نظر جهت متفاوت است. بنابراین برای هر جهت اعمال نیروی خارجی، یکی از پیکربندی‌ها تغییر شکل الاستیکی کمتری می‌دهد و یا به عبارت دیگر منجر به خطای کمتری می‌شود، یعنی دقت بالاتری دارد. از دیدگاه دینامیکی، فرکانس طبیعی و بردار مشخصه پیکربندی‌های مختلف متفاوت است. همچنین پاسخ دینامیکی نقطه انتهاستی پیکربندی‌های مختلف تحت اثر اعمال نیروی دینامیکی مشابه متفاوت است. این تفاوت نه تنها در مقدار و جهت بردار تغییر مکان نقطه انتهاستی است بلکه شکل

#### منابع :

- R.C.Winfrey, "Dynamic Analysis of Elastic Link Mechanisms by Reduction of Coordinate", Tran. ASME, J. Eng. for Industry Vol. 94, No. 1, PP. 547 – 589 (1972).
- J. P. Sadler, and G.N. Sandor, Tran. ASME, J. Eng. Industry, 13, Vol. 95, No. 2, (1973).
- Bahgat. B. M., Willment K. D., "Finite Element Vibrational Analysis of Planar Mechanisms", J. Mechanism and Machine Theory, Vol. 11, PP. 47 – 71 (1976).
- M. Shahinpoor and A. Meghdari, "Combined Flexured – joint – Stiffness Matrix and the Elastic Deformation of a Servo – Controlled Two – Link Robot Manipulator", Robatica Int. J., (1986).
- A. Meghdari, M. Shahinpoor, "Elastic Deformation Characteristics of a PUMA 560 Robot Manipulator", International Journal of Robotic Research, Vol. 6, No. 1, Jan. (1987).
- A. Zaluky and D.E haradt, "Active Control of Robot Structure Deflection", Trans. ASME, J. Dyn. Sys. Measurement and Control, Vol. 106, PP. 63–69 (1984).
- W.J. Book, A. Maizza – neto, D.E. Whitney, "Feedback control of two Beam, two joint Systems with Distributed Flexibility" trans. ASME, J. Dyn. Sys. Measurement and Control, PP. 424 – 431, (1975).
- J. Rastegar, P. Deravi, M. Bahrami, "Manipulator Working Space and Number of Possible Configuration", 11th Canadian cong. of Applied Mech., Edmonton, Canada, (1987).
- M. Bahrami, P. Deravi, J. Rastrgar, "The effect of Selected Working configuration on Dynamic characteristics of Manipulator" Int. Conf. of Automation, Spain (1987).
- بهرامی، محسن (و) توفیقی، منصور. "پیش‌عامل برای برنامه‌های محدود SAP IV". تهران. مجله علمی و فنی امیرکبیر. سال سوم. پائیز و زمستان ۱۳۶۷. شماره ۱۵. ص ۷۹ – ۷۵.

